

деленного из рис. 1б, близко к оценке^[3]. Извлекаемая из опыта величина δS_2^{\max} и разогрев ДДР²

$$\frac{\delta \beta_{SS}}{\beta_{SS}} = \frac{1}{2} \frac{\delta (\delta S_e)}{\delta S_e} = C$$

при определенном значении $H_2'' \rightarrow 0$ позволяет оценить $\beta_{SS}^{\max}/\beta_L$, достигаемое при заданной СВЧ накачке $(\beta_{SS}^{\max})^2/\beta_L^2 \approx \frac{\omega_0^2}{a\omega_{SS}^2} \frac{\delta S_e^{\max}}{2C}$. Для изученного образца при $H_1^2 \approx 1 \text{ Гс}^2$ получено значение $\beta_{SS}^{\max}/\beta_L \approx 20$, что несколько меньше величины, предсказываемой в^[3].

Заметим, что разогрев ДДР при V_1 связан с огромной протяженностью крыльев спиновых пакетов, формирующих неоднородную линию ЭПР, от резонансной частоты $\sim 9 \text{ ГГц}$ до звуковых частот. Полученные данные позволяют экспериментально оценить предписываемое теорией^[4] отклонение формы далеких крыльев $g(\Delta)$ при $\Delta \approx \omega_0$ от лорентцевого вида

$$\frac{g(\omega_0)_{\text{эксп}}}{g(\omega_0)_{\text{лорентц}}} \approx \left[\frac{\delta S_e^{\max}}{\frac{\pi}{4} \gamma_1^2 H_2^2 \tau_1} \frac{\beta_L^2}{(\beta_{SS}^{\max})^2} \right] [\pi \tau_2 \omega_0^2] = 4 \delta S_e^{\max} \frac{\tau_2}{\tau_1} \frac{(H_0^{\max})^2}{H_2^2} \frac{\beta_L^2}{(\beta_{SS}^{\max})^2} = 0.03.$$

Отметим в заключение, что высокочувствительный (при ОД) метод поперечной модуляции представляет особый интерес для изучения ДДР электронных спинов в предельно низких концентрациях, что важно для проблемы ДПЯ. В изученных кристаллах, например, оказалось, что ДПЯ объясняется другим механизмом, нежели контакт с ДДР, и значительно ниже (\sim на порядок) величины $\beta_{SS}^{\max}/\beta_L$, определенной вышеизложенным методом.

Л и т е р а т у р а

- [1] В. А. Ацаркин. Усп. физ. наук, 126, 3, 1978.
- [2] В. А. Ацаркин. ЖЭТФ, 64, 1087, 1973; В. А. Ацаркин, О. А. Рябушкин, В. А. Скиданов. ЖЭТФ, 72, 1118, 1977.
- [3] С. А. Казанский. ЖЭТФ, 80, 1469, 1981.
- [4] М. Гольдман. Спиновая температура и ЯМР в твердых телах, 155, 183, 306. «Мир», М., 1972.
- [5] Л. Л. Бушвили, М. Д. Звиададзе, Г. Р. Хуцишвили. ЖЭТФ, 56, 290, 1969.

Поступило в Редакцию 27 ноября 1981 г.

■ УДК 621.373 : 535+535-3

ВЛИЯНИЕ КОГЕРЕНТНЫХ ЭФФЕКТОВ НА ИЗМЕРЕНИЯ АБСОРБЦИИ МЕТОДОМ ВНУТРИРЕЗОНАТОРНОЙ СПЕКТРОСКОПИИ

В. С. Егоров и И. А. Чехонин

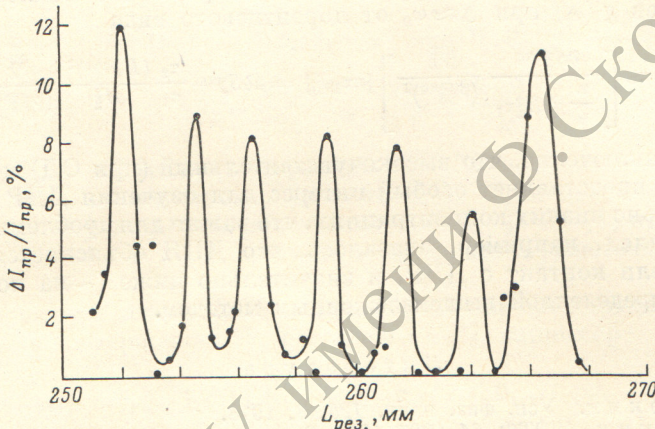
В настоящее время отсутствует полное понимание механизма формирования линейчатых спектров поглощения при внутрирезонаторной абсорбционной лазерной спектроскопии (ВРЛС) (см., например, дискуссию о возникновении эффекта «конденсации» спектра вблизи линии поглощения^[1-3]). Мы хотели бы обратить внимание на детально не обсуждавшуюся ранее роль когерентных эффектов при ВРЛС и, в частности, на появление генерации в виде незатухающего $0-\pi$ -импульса, в результате чего может увеличиваться добротность резонатора вблизи линии поглощения.

² Из опыта с двумя независимыми полями H_2'' (здесь не описан).

К такому выводу приводят результаты нашего исследования спектров поглощения метастабильных атомов неона в плазме импульсного разряда [4]. Применялась двухчастотная модификация метода конкурирующих пучков [5]. Описание лазера на красителе приведено в [6]. Длительность импульса генерации 5 нс, ширина линии каждого из пучков 0.03 нм. Увеличение энергии пробного пучка измерялось фотоэлектрически с погрешностью 2-3%.

Появление поглощающих атомов внутри резонатора приводило к возникновению линии поглощения и значительному уширению спектра пучка, настроенного в резонанс с атомным переходом; усиливалась интенсивность пробного пучка.

Была получена осциллирующая зависимость относительного усиления пробного пучка $\Delta I_{np}/I_{np}$ от времени задержки $\tau_{зад}$ импульса лазера по отношению к моменту начала разряда. В то же время проведенные измерения концентраций поглощающих атомов N методом «полного» поглощения осциллирующей



Зависимость относительного усиления пробной волны от длины резонатора. $\lambda_0=585.2 \text{ нм}$ (переход $2p^53s^1P_1 - 2p^63p^1S_0$).

структуры не обнаруживают. На наш взгляд, это противоречие может быть объяснено существованием эффекта автомодуляции интенсивности генерации в резонаторе с частотой v_{mod} , зависящей от концентрации поглощающих атомов, и необходимостью выполнения условия синхронизма между периодом модуляции и характерным временем резонатора $2L_{рез.}/c$.

$$v_{mod} = K \frac{c}{2L_{рез.}}, \quad (1)$$

где $L_{рез.}$ — длина резонатора; K — целое число.

Вследствие соотношения (1) величина $\Delta I_{np}/I_{np}$ должна меняться периодически с изменением длины резонатора при неизменных условиях в поглощающей ячейке. Такая зависимость действительно наблюдалась (см. рисунок).

Одним из механизмов появления автомодуляции может явиться возникновение незатухающего $0-\pi$ -импульса. Последний является одним из решений уравнений Максвелла—Блоха при когерентном взаимодействии электромагнитного поля с резонансно поглощающей средой в отсутствии потерь ($T_1=T_2=\infty$) [7, 8] и ранее экспериментально не наблюдавшийся. В приближении слабой нелинейности ($N \approx \text{const}$) решение для напряженности поля имеет простой вид

$$E = E_0 \cos \omega_{кооп} t \cdot \cos \omega_0 t, \quad (2)$$

где $\omega_{кооп}$ — кооперативная частота, равная $\sqrt{2\pi\omega_0\mu_{12}^2 N/\hbar}$; ω_0 — резонансная частота перехода; μ_{12} — электрический дипольный момент перехода.

Видно, что вся энергия $0-\pi$ -импульса сосредоточивается на частотах $\omega_0 \pm \omega_{кооп}$. В реальных условиях ($T_1, T_2 \neq \infty$) $0-\pi$ -импульс затухает. Однако в резонаторе лазера на красителе потери могут быть скомпенсированы усиле-

нием в активной среде. Для этого усиление на частотах $\omega_0 \pm \omega_{\text{кооп}}$ не должно быть меньше, чем $\approx 2/cT_2$. С другой стороны, для возникновения автомодуляции интенсивности генерации лазера на частоте ω_0 необходимо, чтобы

$$\frac{2\pi\mu_{12}^2\omega_0 N}{\hbar} > \frac{1}{4T_2^2}. \quad (3)$$

Таким образом, незатухающий $0-\pi$ -импульс может существовать при определенной концентрации N поглощающих атомов и определенном уровне начинки активной среды.

Своеобразная перекачка энергии генерации на частоты $\omega_0 \pm \omega_{\text{кооп}}$ эквивалентна увеличению добротности резонатора для указанных частот, что и может явиться причиной «конденсации» спектра генерации лазера на красителе с резонансно поглощающей ячейкой внутри резонатора вблизи линии поглощения.

Результаты измерений, представленных на рисунке, могут быть использованы для оценки частоты пульсаций интенсивности генерации внутри резонатора и соответственно концентрации поглощающих атомов. Действительно, нетрудно видеть, что

$$2\pi\nu_{\text{мод}} = 2\omega_{\text{кооп}} = \frac{c}{2\Delta L_{\text{пез}}}, \quad (4)$$

где $\Delta L_{\text{пез}}$ — пространственный период кривой на рисунке, б. Полученные данные неплохо совпадали с результатами соответствующих измерений по методу «крюков» [4].

Л и т е р а т у р а

- [1] Ya. I. Khanin, A. G. Kagan, V. P. Novikov, M. A. Novikov, I. N. Polushnik, A. I. Shehegakov. Opt. Commun., 32, 456, 1980.
- [2] A. N. Rubinov, M. B. Belokon', A. B. Adamushko. Квант. электрон., 6, 723, 1979.
- [3] Y. N. Meueg. Opt. Commun., 30, 75, 1979.
- [4] A. M. Shuktin, B. S. Egorov. Вестн. ЛГУ, № 16, 1959.
- [5] C. A. Batiache, B. A. Mostovnikov, A. N. Rubinov. Квант. электрон., 3, 2626, 1976.
- [6] B. S. Egorov, I. A. Chekhonin. Тез. докл. на Всесоюзн. конф. «Оптика лазеров», Л., 1980.
- [7] F. T. Agresti, V. De Giorgio, S. C. Someda. Phys. Lett., 27, 588, 1968.
- [8] M. D. Crisp. Phys. Rev. Lett., 22, 820, 1969.

Поступило в Редакцию 3 декабря 1981 г.